

# ВЛИЯНИЕ АЛЬФА-РАСПАДА $^{238}\text{Pu}$ НА СВОЙСТВА БОРОСИЛИКАТНОГО СТЕКЛА ОДЦ ФГУП ГХК<sup>1</sup>

© 2023 г. А. С. Алой<sup>a</sup>, Н. Ф. Карпович<sup>a,\*</sup>, Т. И. Кольцова<sup>a</sup>,  
А. А. Мурзин<sup>a</sup>, П. В. Сластихина<sup>a</sup>, Д. М. Яндаев<sup>b</sup>, О. С. Дмитриева<sup>b</sup>

<sup>a</sup> Радиевый институт им. В.Г. Хлопина,

194021, Санкт-Петербург, 2-й Муринский пр., д. 21

<sup>b</sup> Научно-исследовательский институт атомных реакторов,  
433507, Димитровград Ульяновской обл., Западное шоссе, д. 9

\*e-mail: knf@khlopin.ru

Поступила в редакцию 28.12.2022, после доработки 07.02.2023, принята к публикации 07.02.2023

Исследовано влияние интенсивного альфа-излучения  $^{238}\text{Pu}$  (содержание в стекле до 4.0 мас%) на свойства боросиликатного стекла (БСС) опытно-демонстрационного центра горно-химического комбината по переработке ОЯТ (ОДЦ ГХК). Характеристики БСС исследовали сразу после получения образцов и по мере набора дозы за счет альфа-распадов в единице объема образца ( $\text{a}/\text{cm}^3$ ). Однородность распределения  $^{238}\text{Pu}$  в образцах подтверждалась методами авторадиографии и разрушающего химического анализа с  $\alpha$ -спектрометрическим окончанием. Плотность образцов БСС находилась в диапазоне 2.71–2.72  $\text{г}/\text{cm}^3$  в зависимости от содержания плутония и не менялась со временем. Скорость выщелачивания  $^{238}\text{Pu}$  на 28-е сутки при 90°C у двух параллельных образцов стекла с кумулятивной дозой  $1.70 \times 10^{18} \text{ a}/\text{cm}^3$  составляла  $5.0 \times 10^{-7} \text{ г}/(\text{cm}^2 \cdot \text{сут})$ , что соответствует величинам, регламентированным требованиям НП-019-15. Аморфная структура образца сохранилась при дозовой нагрузке  $3.2 \times 10^{18} \text{ a}/\text{cm}^3$  стекла, плотность его не претерпела изменений, поверхность обладает стеклянным блеском. Дефекты в виде трещин, сколов и помутнений на ней отсутствуют.

**Ключевые слова:** боросиликатное стекло, изотоп  $^{238}\text{Pu}$ , радиационная устойчивость, альфа-распад.

**DOI:** 10.31857/S003383112303005X, **EDN:** ENRJRZ

## ВВЕДЕНИЕ

Технология остекловывания жидких высокоактивныхadioактивных отходов (ВАО) используется в ряде стран (Франция, Россия, США, Великобритания, Япония и т.д.) в промышленном масштабе уже более 30 лет. Тем не менее, исследования по совершенствованию технологий, включая выбор состава матрицы и обоснования их долговременной устойчивости во временном интервале до  $10^4$  лет и более, непрерывно продолжаются [1].

Для промышленного применения в России состав БСС был разработан и испытан на модельных

составах для иммобилизации ВАО, образующихся по базовой технологии переработки отработавшего ядерного топлива (ОЯТ) ВВЭР-1000 на ОДЦ ГХК [2]. В результате исследований было показано [3], что основные физико-химические характеристики модельных БСС соответствуют критериям качества в соответствии с нормативными требованиями [4]. При переходе к исследованиям радиационной устойчивости данной матрицы были проведены расчеты дозовой нагрузки от каждого вида излучения в отдельности для остеклованных ВАО на период до  $10^4$  лет с учетом как технологических параметров, так и геометрических размеров бидона со стеклом.

С использованием программного средства SCALE/Origen [5] было установлено, что погло-

<sup>1</sup> По материалам доклада на X Российской конференции с международным участием «Радиохимия-2022» (Санкт-Петербург, 26–30 сентября 2022 г.).

**Таблица 1.** Состав модельного стекла по расчету, мас%

Компоненты БСС	Содержание, мас%
$\text{SiO}_2$	45.60
$\text{B}_2\text{O}_3$	14.50
$\text{Al}_2\text{O}_3$	3.40
Оксиды щелочных металлов (Li, Na, Cs)	18.54
Оксиды щелочноземельных металлов (Ca, Sr, Ba)	4.90
Оксиды редкоземельных металлов (La, Nd)	4.00
Оксиды переходных металлов (Fe, Mn, Cr, Ni)	4.56
$\text{PuO}_2$	4.50
$\Sigma$	100.00

щенная доза в объеме бидона со стеклом базового состава ОДЦ ГХК за  $10^4$  лет от  $\alpha$ -излучения составляет величину до  $4.8 \times 10^9$  Гр, что соответствует  $5.3 \times 10^{18}$  а/г стекла [6].

Согласно многочисленным зарубежным исследованиям, макроскопические свойства стекломатрицы (плотность, твердость, модуль Юнга, химическая устойчивость и т.д.) стабилизируются при накоплении интегральной дозы от  $1.0 \times 10^{18}$  до  $2.0 \times 10^{18}$  а/г матрицы, после чего наступает баланс между образованием дефектов и их реставрацией [7–9]. При этом отмечается отсутствие влияния скорости накопления дозы на конечный результат, что позволяет использовать ускоренное моделирование  $\alpha$ -распада для набора необходимой дозовой нагрузки в приемлемые промежутки времени.

Метод с введением в стекло относительно короткоживущих изотопов  $^{238}\text{Pu}$  ( $T_{1/2} = 87.7$  года) или  $^{244}\text{Cm}$  ( $T_{1/2} = 18.1$  года) в более высоких концентрациях по сравнению с обычным их содержанием в остеклованных ВАО лежит в основе международного стандарта для испытаний радиационной и ионизационной стабильности отверженных радиоактивных отходов [10].

Достоинство такого подхода в случае  $\alpha$ -распада по сравнению с внешним облучением обусловлено одновременным воздействием  $\alpha$ -частиц и ядер отдачи на структуру матрицы. С использованием данного метода проводятся исследования БСС в США, Франции и т.д. [11–13].

В российском ГОСТ [14] по определению долговременной устойчивости отверженных ВАО к  $\alpha$ -излучению рекомендованы изотопы  $^{238}\text{Pu}$ ,  $^{241}\text{Am}$ ,  $^{242}\text{Cm}$  и  $^{244}\text{Cm}$ .

Нами было решено использовать  $^{238}\text{Pu}$  ввиду его большей доступности и меньшей радиотоксичности по сравнению с другими нуклидами из-за отсутствия сопутствующего  $\gamma$ -излучения.

Целью настоящего исследования было определение радиационной устойчивости БСС базового состава ОДЦ ГХК за счет сохранения показателей качества, таких как однородность, аморфность, плотность и химическая устойчивость, при воздействии  $\alpha$ -излучения не менее  $10^{18}$  а/см<sup>3</sup>, что является регламентированной величиной согласно нормативам [4].

## ЭКСПЕРИМЕНТАЛЬНАЯ ЧАСТЬ

### Подготовка образцов

Для получения БСС с включением до 4.0 мас%  $^{238}\text{Pu}$  был использован модельный состав стекла ОДЦ ГХК [3], приведенный в табл. 1.

Процесс синтеза стекла включал подготовку исходной шихты из соответствующих сухих реагентов в виде нитратов, карбонатов и гидроксидов марок х.ч. и ч.д.а., которые в необходимых количествах тщательно перетирали в яшмовой ступке. Сухую шихту переносили в платиновый тигель и добавляли при постоянном перемешивании расчетное количество стабилизированного кремнезоля марки ч.д.а. с содержанием 35 мас%  $\text{SiO}_2$ .

Тигель с шихтой выдерживали на песчаной бане до получения сухого остатка, который гомогенизировали длительным перемешиванием. Плутоний вводили в шихту в виде азотокислого раствора, полученного при растворении порошка  $^{238}\text{PuO}_2$  с содержанием изотопа  $^{239}\text{Pu}$  менее 1 мас%. Разложение  $\text{Pu}(\text{NO}_3)_4$  происходит при относительно невысоких температурах с образованием мелкодисперсного химически активного диоксида плутония, что способствует повышению его растворимости в боросиликатном стекле [15].

Платиновый тигель с шихтой, содержащей плутоний, переносили в муфельную печь с программируемым нагревом. На первом этапе производи-



**Рис. 1.** Фотографии образцов БСС с  $\text{PuO}_2$ .

ли кальцинацию исходных солей при температуре  $750^\circ\text{C}$  в течение 2 ч, после чего температуру поднимали до  $1150^\circ\text{C}$  со скоростью 7.5 град/мин и выдерживали расплав еще 2 ч с периодическим перемешиванием платиновой лопаткой. Перед разгрузкой тигля температуру в муфеле поднимали до  $1200^\circ\text{C}$  на 0.5 ч и расплав выливали на горячую стальную пластину в виде гранул. Затем пластину с гранулами отжигали при термостатировании.

Операции по варке стекла с  $^{238}\text{Pu}$  и получению образцов в форме гранул проводили в защитном боксе.

Все гранулы имели блестящую поверхность черного цвета (рис. 1). По цвету и отсутствию люминесценции в темноте наше стекло резко отличались от БСС коричневого цвета с 0.53 мас%  $^{238}\text{Pu}$ , которое было синтезировано в работе [16]. Вероятно, различия связаны с высоким содержанием в последнем европия (4 мас%) и неполным его составом по отношению к модельному французскому стеклу SON-68 [17].

Образцы взвешивали, маркировали, помещали в специальные пробирки, на каждый из них оформляли паспорт радионуклидного источника.

#### *Определение изотопного состава и удельной активности образцов*

Изотопный состав и удельную активность образцов определяли с использованием спектрометра рентгеновского и гамма-излучения серии DSPecjr, оснащенного детектором GEM45P4-83. Эффективность регистрации в пике полного поглощения фотонов с энергией 1332 кэВ от точечного источника  $^{60}\text{Co}$ , измеренного в стандартной геометрии, –  $7.71 \times 10^{-3}$  имп/Бк (погрешность 4% для  $P = 0.95$ ).

Для снижения погрешностей при измерении активностей вносили поправку на самопоглощение в твердых образцах и проводили калибровку по специально изготовленному эталону. Ошибка измерений не превышала 6%.

#### *Расчет числа распавшихся атомов в образце*

Число распавшихся атомов в образце за определенный промежуток времени рассчитывали по формулам (1)–(3).

Число атомов в 1 г  $^{238}\text{Pu}$ :

$$N = (m/M) \cdot N_A, \quad (1)$$

где  $N$  – число атомов;  $m$  – масса, г;  $M$  – молярная масса, г/моль;  $N_A$  – число Авогадро.

Число атомов, оставшихся на конечный период времени:

$$N = N_0 \cdot e^{-\lambda t}, \quad (2)$$

где  $N$  – число атомов на конечный период времени;  $N_0$  – число атомов на начальный период времени;  $\lambda$  – постоянная распада,  $\text{с}^{-1}$ ;  $t$  – временной период, с.

Число распавшихся атомов за указанный промежуток времени  $t$ :

$$N_t = N - N_0, \quad (3)$$

где  $N_t$  – число распавшихся атомов за промежуток времени  $t$ ;  $N$  – число атомов на конечный период времени;  $N_0$  – число атомов на начальный период времени.

#### *Определение массы и плотности образцов*

Массу и плотность образцов определяли методом гидростатического взвешивания с помощью аналитических весов Mettler Toledo XP-504,

оснащенных приставкой для гидростатического взвешивания. Процесс измерения плотности автоматизирован, весы делают поправку на плотность используемой жидкости, а также ее температуру по методике ГОСТ [18]. Погрешность измерения составляет  $10^{-4}$  г.

#### *Однородность распределения плутония*

Однородность распределения плутония в стекле определяли методами авторадиографии и радиохимического анализа после растворения его фрагментированных частей.

Авторадиографию проводили с использованием радиографической пленки Industrex HS800 (Carestream, США, сертификат соответствия № РОСС US.AB86.H07789). Образец фиксировали в кювете, поверхность выравнивали и обмывали этанолом, после чего к поверхности прикладывали пленку в светонепроницаемой упаковке, время экспонирования составляло от 10 до 60 с. Латентное изображение на пленке преобразовывалось в видимое с использованием раствора гидрохинона.

После авторадиографии распределение плутония в объеме образца определяли путем его фрагментации на 5 частей с последующим растворением каждой части и определением в ней содержания плутония. Фрагментацию осуществляли с помощью алмазного инструмента.

Растворение проводили в  $\text{HNO}_3$  (6 моль/л) с добавлением 40%-ного раствора HF при  $70^\circ\text{C}$ .

При подготовке мишеней для проведения  $\alpha$ -спектрометрии растворы от каждой части разбавляли в 1000 раз. Измерения проводили с использованием спектрометрического устройства СУ-05 и амплитудно-цифрового преобразователя АЦП-8К-42.

Для оценки равномерности распределения  $^{238}\text{Pu}$  в образце и выражения величины отклонения от среднего содержания в образце рассчитывали коэффициент вариации по формуле (4):

$$K = (\sigma/x) \times 100\%, \quad (4)$$

где  $K$  – коэффициент вариации, %;  $\sigma$  – среднеквадратичное отклонение;  $x$  – среднее содержание компонента в образце.

Использование метода радиохимического анализа в совокупности с авторадиографией дает до-

статочно надежное представление об однородности распределения  $^{238}\text{Pu}$  в образце.

#### *Определение фазового состава*

Фазовый состав образцов с  $^{238}\text{Pu}$  определяли методом рентгенофазового анализа (РФА). Съемку дифрактограмм проводили с плоской донной поверхности образцов на дифрактометре D2 Phaser фирмы Bruker (Германия) и ДРОН-7 (излучение  $\text{Cu}K_\alpha$  с Ni-фильтром). Для съемки на ДРОН-7 на поверхность образца в качестве стандарта наносили алмазный порошок. Для идентификации фазового состава использовали картотеки рентгеновских дифракционных данных JCPDS и PDF-2 ICDD.

#### *Определение химической устойчивости*

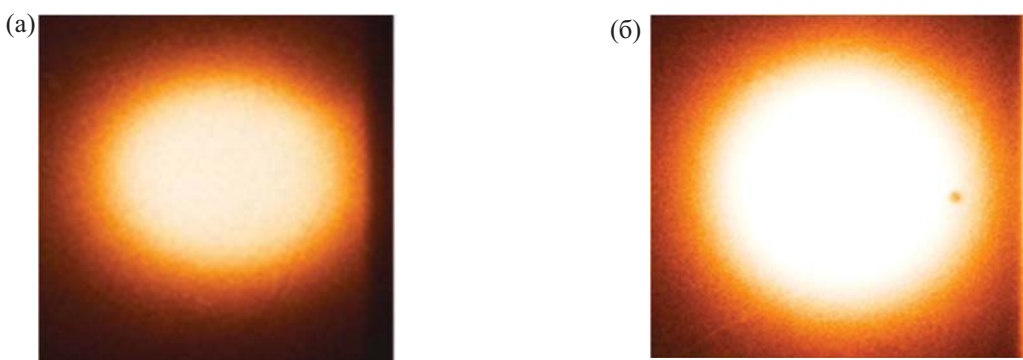
Химическую устойчивость определяли в соответствии с ГОСТ [14] в бидистиллированной воде при температуре  $T = 90 \pm 2^\circ\text{C}$ . Параллельно тестировали по 2 образца.

Площадь поверхности образцов рассчитывали на основании линейных размеров (диаметр, высота) и формы исследуемых образцов. В программе SolidWorks были построены 3D геометрические модели. Далее в автоматическом режиме рассчитывали площадь поверхности и объем каждого из образцов. Погрешность рассчитанных таким образом геометрических параметров составляла не более 10% по сравнению с измерением классическим способом (с помощью миллиметровой бумаги или пленки), который был апробирован на неактивных гранулах похожей формы.

Отношение площади поверхности образца к объему раствора составляло  $S/V = 1 : 3$ . Пробы отбирали на 1-е, 3-е, 7-е, 10-е, 14-е, 21-е и 28-е сутки от начала тестирования.

В день отбора проб образец извлекали, а контактный раствор переносили в предварительно подготовленную емкость. Затем образец промывали свежей порцией воды объемом, равным объему исходного раствора, и добавляли к отобранный пробе. Образец помещали в контейнер и заливали новой порцией воды.

В растворы после выщелачивания образцов добавляли 50 мкл 15 моль/л  $\text{HNO}_3$  для предотвраще-



**Рис. 2.** Сканированный негатив в проходящем свете образца № 2 с кумулятивной дозой  $1.16 \times 10^{18} \text{ а/см}^3$  (а), образца № 5 с кумулятивной дозой  $1.70 \times 10^{18} \text{ а/см}^3$  (б), время экспонирования 45 с.

ния гидролиза и сорбции катионов на контактных поверхностях.

Концентрацию  $^{238}\text{Pu}$  в контактном растворе определяли методом  $\alpha$ -спектрометрии.

Скорость выщелачивания плутония рассчитывали по формуле (5):

$$R_n = A_n / (A_0 S t), \quad (5)$$

где  $R_n$  – скорость выщелачивания,  $\text{г}/(\text{см}^2 \cdot \text{сут})$ ;  $A_n$  – активность нуклида в контактном растворе за определенный временной интервал,  $\text{Бк}$ ;  $A_0$  – удельная активность (массовая концентрация) нуклида в исходном образце,  $\text{Бк}/\text{г}$ ;  $S$  – площадь поверхности образца,  $\text{см}^2$ ;  $t$  – продолжительность  $n$ -го периода тестирования, сут.

## РЕЗУЛЬТАТЫ И ИХ ОБСУЖДЕНИЕ

После изготовления образцов для каждого из них определяли массу, содержание плутония и удельную  $\alpha$ -активность, значения которых приведены в табл. 2.

Образец № 1 предназначен для длительного хранения в контролируемых условиях с целью достижения дозовой нагрузки вплоть до  $10^{19} \text{ а/см}^3$ .

Характеристики образцов исследовали сразу после получения образцов и после выдержки 270, 360 и 800 сут. Сведения о накопленных  $\alpha$ -распадах в образцах с разной выдержкой и изученных свойствах приведены в табл. 3.

### Однородность распределения $^{238}\text{Pu}$

Результаты авторадиографии образцов №№ 2 и 5 приведены на рис. 2.

Распределение яркости на сканированных негативах в проходящем свете при времени экспонирования 45 с для обоих образцов на рис. 2, (а, б) однородно, вид авторадиограмм не изменился с увеличением дозовой нагрузки, что свидетельствует о равномерном распределении плутония по поверхности образцов.

**Таблица 2.** Радиационные характеристики образцов БСС с плутонием на момент изготовления

№ образца	$A \times 10^{-9}$ , $\text{Бк}$	$m$ , $\text{г}$	Содержание $^{238}\text{Pu}$ , % <sup>a</sup>	Удельная активность $\times 10^{-10}$ , $\text{Бк}/\text{г}$
1	4.30	0.274	3.10	1.57
2	8.25	0.524	3.76	1.57
3	8.30	0.527	3.13	1.58
4	6.44	0.416	3.08	1.55
5	8.24	0.552	3.22	1.49
6	5.73	0.353	3.34	1.62
7	4.35	0.270	3.15	1.61

<sup>a</sup>Содержание  $^{239}\text{Pu}$  в  $^{238}\text{Pu}$  менее 1 мас%.

**Таблица 3.** Время хранения образцов, набранная доза и исследованные свойства

Время, сут	Кумулятивная доза $10^{-18}$ , а/см <sup>3</sup>	№ образца	Свойства
30	—	1	Плотность, фазовый состав
270	1.16	2	Плотность, фазовый состав, однородность, химическая устойчивость
		3	
		4	
360	1.70	5	Плотность, фазовый состав, однородность, химическая устойчивость
		6	
		7	
800	3.20	1	Плотность, фазовый состав

Как отмечалось в методике, оба образца после авторадиографии были фрагментированы для проведенияadioхимического анализа со спектрометрическим окончанием на содержание plutония. В табл. 4 представлены данные  $\alpha$ -спектрометрического анализа образцов с разной кумулятивной дозой, рассчитанные значения среднего содержания  $^{238}\text{Pu}$ , среднеквадратичное отклонение и коэффициент вариации.

Среднее содержание plutония в образцах №№ 2 и 5 хорошо коррелирует со значениями, полученными путем  $\gamma$ -спектрометрии (табл. 2).

Исходя из представленных в табл. 4 данных распределение plutония по объему образцов можно считать достаточно равномерным и соответствующим регламентированной величине  $\pm 10\%$  [4].

#### Фазовый состав

РФА образцов проводили как сразу после их изготовления, так и по мере выдержки для увеличения

дозовой нагрузки. На рис. 3 приведены дифрактограммы образцов №№ 1, 2 и 5 с разной дозовой нагрузкой.

Из рис. 3 видно, что все образцы с разной дозой от  $\alpha$ -излучения сохранили аморфное состояние вплоть до  $3.20 \times 10^{18}$  а/см<sup>3</sup>.

Отсутствие нарушений однородности распределения plutония в образцах и сохранение их аморфного состояния при дозе  $3.20 \times 10^{18}$  а/см<sup>3</sup> соответствует критериям качества, регламентированным в нормативах [4]. В работе [19] показано, что даже при более высоких дозах ( $10^{19}$  а/см<sup>3</sup>) в БСС с модельными отходами не наблюдались фазовые трансформации или явления кристаллизации.

#### Плотность

Плотность образцов находилась в пределах 2.710–2.720 г/см<sup>3</sup> и в основном зависела от количества в них  $^{238}\text{Pu}$ , а не от поглощенной дозы. Результаты определения плотности образца № 1 после

**Таблица 4.** Содержание  $^{238}\text{Pu}$  в образцах №№ 2 и 5

№ образца	Кумулятивная доза $\times 10^{-18}$ , а/см <sup>3</sup>	№ фрагмента	Содержание $^{238}\text{Pu}$ , мас%	Среднее содержание, мас%	$\sigma$ , мас%	$K$ , %
2	1.16	1	3.43 $\pm$ 0.34	3.77	0.21	5.5
		2	3.83 $\pm$ 0.38			
		3	3.92 $\pm$ 0.39			
		4	4.01 $\pm$ 0.40			
		5	3.66 $\pm$ 0.37			
5	1.70	1	3.12 $\pm$ 0.31	3.22	0.16	4.9
		2	2.97 $\pm$ 0.30			
		3	3.36 $\pm$ 0.34			
		4	3.28 $\pm$ 0.33			
		5	3.39 $\pm$ 0.34			

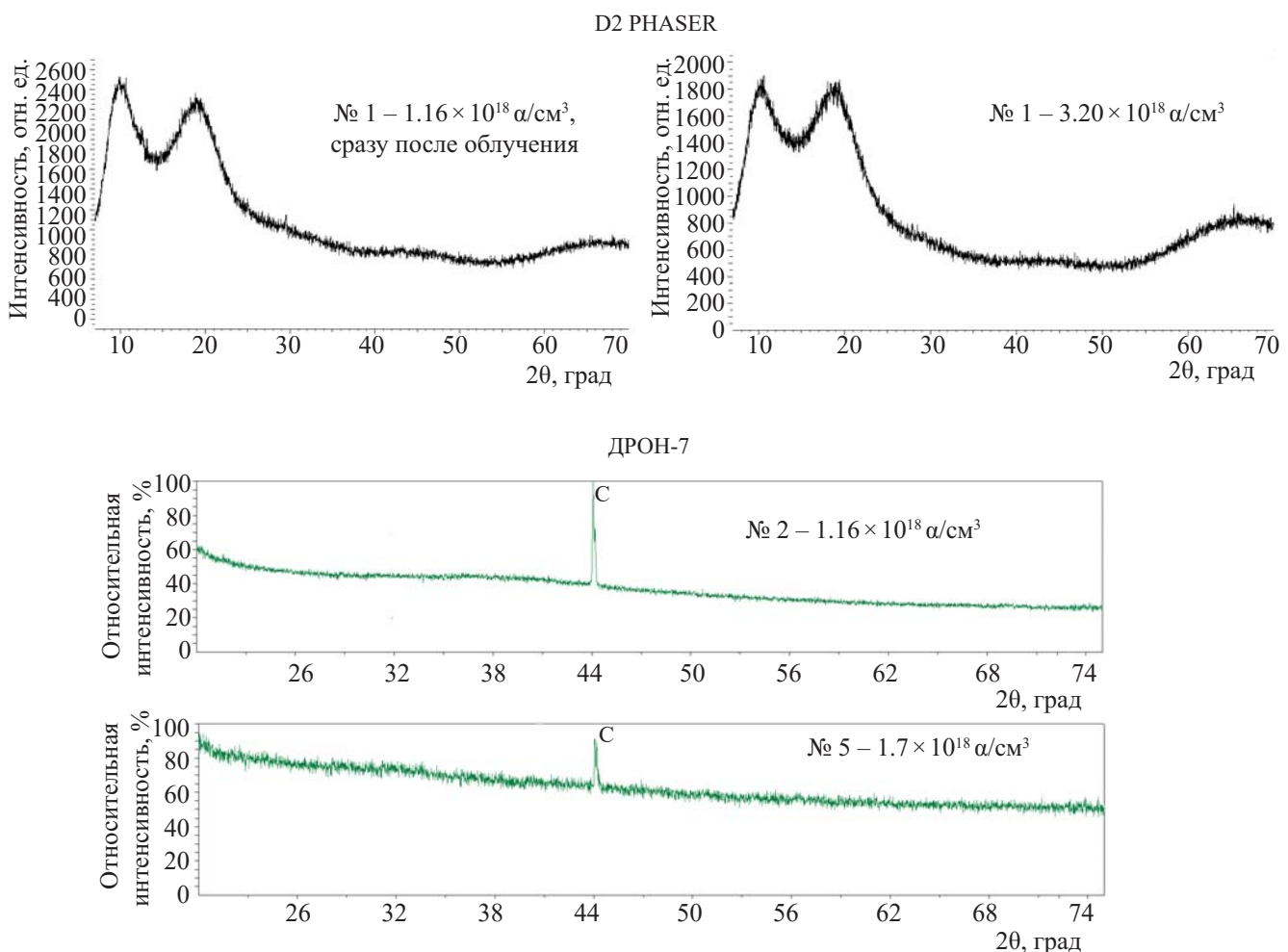


Рис. 3. Дифрактограммы образцов №№ 1, 2 и 5.

800 сут хранения показали, что значения плотности изменились в пределах ошибки взвешивания и составляли 2.718 и 2.716 г/см<sup>3</sup>.

Согласно работе [20], зависимость изменения плотности БСС от дозы можно представить уравнением

$$\Delta\rho = A[1 - \exp(-BD)], \quad (6)$$

где  $A$  – изменение плотности в состоянии равновесия;  $B$  – доля стекла, полностью поврежденная от  $\alpha$ -распада;  $D$  – доза.

Для французского стекла SON68 равновесие между образованием дефектов и их одновременным восстановлением достигается при  $\sim 5 \times 10^{18} \alpha/\text{см}^3$  [1]. Это приводит к очень незначительным изменениям плотности в пределах  $\pm 0.5\%$ , что и наблюдается в наших образцах.

### Химическая устойчивость

В табл. 5 приведены характеристики образцов и объемы контактного раствора для выщелачивания.

Все гранулы после выщелачивания при  $90 \pm 2^\circ\text{C}$  в течение 28 сут сохранили свою целостность, черный цвет и стеклянный блеск (рис. 4).

На рис. 5 приведены графики зависимости скорости выщелачивания плутония от времени для образцов №№ 3 и 4 с кумулятивной дозой  $1.16 \times 10^{18} \alpha/\text{см}^3$  и образцов №№ 6 и 7 с кумулятивной дозой  $1.70 \times 10^{18} \alpha/\text{см}^3$ .

Скорость выщелачивания плутония на 28-е сутки для всех образцов находится в интервале  $(1-5) \times 10^{-7} \text{ г}/(\text{см}^2 \cdot \text{сут})$ , что с учетом температурного фактора соответствует нормативному требованию.



Рис. 4. Фото образцов после выщелачивания.

Наши данные по выщелачиванию плутония при 90°C достаточно хорошо коррелируют с результатами работы [21], которые свидетельствуют о высокой химической устойчивости стекла при дозе  $1.70 \times 10^{18} \text{ а/см}^3$ . В работе [16] в аналогичных условиях скорости выщелачивания плутония были почти на два порядка выше. Авторы предполагают, что такое высокое значение обусловлено гетерогенным распределением плутония в стекле, тогда как в нашем случае оно было достаточно однородным.

### ЗАКЛЮЧЕНИЕ

С целью изучения влияния интенсивного  $\alpha$ -излучения на макроскопические свойства БСС базового состава ОДЦ ГХК были получены образцы в виде стеклограмул, содержащие до 4 мас%  $^{238}\text{Pu}$ . Показано, что образцы имеют однородное распределение  $^{238}\text{Pu}$  вплоть до дозы  $1.7 \times 10^{18} \text{ а/см}^3$ . При этом сохраняется аморфное состояние, характерное для гомогенного стекла. Химическая устойчивость при  $90 \pm 2^\circ\text{C}$  существенно не изменяется по мере уве-

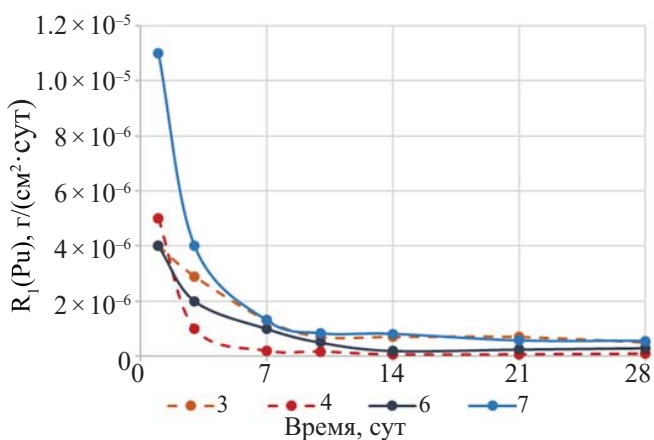


Рис. 5. График зависимости скорости выщелачивания плутония от времени. Цифры у кривых – номера образцов.

личения дозы, и скорости выщелачивания плутония находятся в интервале  $(1-5) \times 10^{-7} \text{ г}/(\text{см}^2 \cdot \text{сут})$ . Образцы после выщелачивания сохранили свой цвет и стеклянный блеск без видимых дефектов на поверхности. Измерения плотности и фазового состояния образца с дозой  $3.2 \times 10^{18} \text{ а/см}^3$  после 800 сут хранения указывают на их постоянство. Данный образец подлежит длительному хранению для набора дозы до  $10^{19} \text{ а/см}^3$ .

Полученные экспериментальные данные для БСС ОДЦ ГХК соответствуют критерию радиационной устойчивости согласно нормативным требованиям.

### БЛАГОДАРНОСТИ

Авторы выражают благодарность сотрудникам Радиевого института им. В.Г. Хлопина Васильеву С.К. за проведение гамма-спектрометрического анализа образцов с плутонием и Ковалеву Н.В. за расчеты дозовых нагрузок в стекле при  $\alpha$ -распаде плутония.

Таблица 5. Масса, площадь поверхности образцов №№ 3, 4, 6, 7 и объемы контактного раствора

Номер образца	Кумулятивная доза, а/см <sup>3</sup>	Масса, г	Площадь поверхности, см <sup>2</sup>	Объем контактного раствора, мл
3	$1.16 \times 10^{18}$	0.527	1.5	4.5
4		0.416	4.0	12.0
6	$1.70 \times 10^{18}$	0.353	1.1	3.3
7		0.270	1.2	3.6

## КОНФЛИКТ ИНТЕРЕСОВ

Авторы заявляют об отсутствии конфликта интересов.

## СПИСОК ЛИТЕРАТУРЫ

1. *Gin S., Jollivet P., Tribet M., Peuget S., Schuller S.* // Radiochim. Acta. 2017. Vol. 105, N 11. P. 927.
2. *Федоров Ю.С., Зильberman Б.Я., Пузиков Е.А., Алој А.С., Шадрин А.Ю., Аляышев М.Ю.* // Рос. хим. журн. (ЖРХО им. Д.И. Менделеева). 2010. Т. LIX, № 3. С. 12.
3. *Алој А.С., Трофименко А.В., Кольцова Т.И., Никандрова М.В.* // Радиоактивные отходы. 2018. Т. 4, № 5. С. 67.
4. Федеральные нормы и правила в области использования атомной энергии. Требования безопасности (НП-019-15). М.: Федеральная служба по экологическому, технологическому и атомному надзору, 2015.
5. SCALE Nuclear Systems Modeling & Simulation. Электронный ресурс. <https://www.ornl.gov/scale> (дата доступа: 01.08.2020).
6. *Алој А.С., Ковалев Н.В., Блохин А.И., Курындин А.В.* // Ядерная и радиационная безопасность. 2020. Т. 98, № 4. С. 61.
7. *E.R. Merz and C.E. Walter.* Dordrecht/Boston /London: Kluwer Academic. 73. Publishers. 1996. P. 93–105.
8. *Mir A.H., Monnet I., Toulemonde M., Bouffard S., Jegou C., Peuget S.* // J. Nucl. Mater. 2016. Vol. 469. P. 244.
9. *Charpentier T., Martel L., Lutze W.* // Sci. Rep. 2016. Vol. 6. pp. 25499
10. ISO 6962:2004: Standard Method for Testing the Long-Term Alpha Irradiation Stability of Matrices for Solidification of High-Level Radioactive Waste.
11. *Peuget S., Broudic V., Jégou C., Frugier P., Roudil D., Deschanels X., Rabiller H., Noel P.Y.* // J. Nucl. Mater. 2007. Vol. 362. P. 474.
12. *Cachia J.-N., Deschanels X., Den Auwer C., Pinet O., Phalippou J., Hennig C., Scheinost A.* // J. Nucl. Mater. 2006. Vol. 352. P. 182.
13. *Weber W., Ewing R., Angell C.A.* // J. Mater. Soc. 1997. Vol. 12. P. 1948.
14. ГОСТ Р 52126-2003. Национальный стандарт Российской Федерации. Отходы радиоактивные. Определение химической устойчивости отверждённых высокоактивных отходов методом длительного выщелачивания.
15. *Алој А.С., Барбанель Ю.А., Колин В.В., Комлин В.П., Трофименко А.В.* // Радиохимия. 2000. Т. 42, № 4. С. 83
16. *Zubekhina B.Y., Shiryaev A.A., Burakov B.E., Vlasova, I.E., Averin A.A., Yapaskurt V.O., Petrov V.G.* // Radiochim. Acta. 2020. Vol. 108, N 1. P. 19.
17. *Vernaz E., Gin S., Jegou C., Ribet I.* // J. Nucl. Mater. 2001. Vol. 298, N 1–2. P. 27–36.
18. ГОСТ 9553-2017. Межгосударственный стандарт. Стекло и изделия из него. Метод определения плотности.
19. *Peuget S., Delaye J.-M., Jégou C.* // J. Nucl. Mater. 2014. Vol. 444. P. 76.
20. *Peuget S., Cachia J.-N., Jegou C., Deschanels X., Roudil D., Broudic V., Delaye J.M., Bart J.-M.* // J. Nucl. Mater. 2006. Vol. 354. P. 1.
21. *Advocat T., Jollivet P., Crovisier J.L., del Nero M.* // J. Nucl. Mater. 2001. Vol. 298. P. 55.